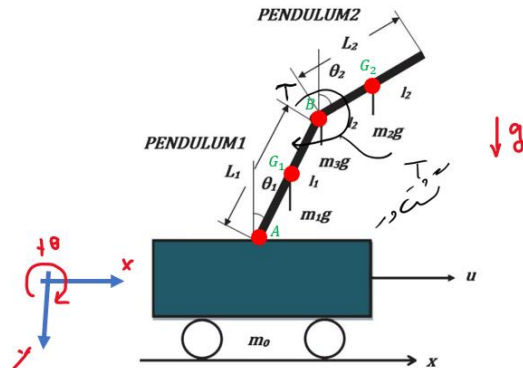


۱. استخراج معادلات دینامیکی سیستم

از روش لاگرانژ استفاده می کنیم و معادلات حاکم بر سیستم را به فرم $\mathbf{M}\ddot{\mathbf{q}} + \mathbf{Bias} = \mathbf{Q}$ می نویسیم.



سرعت مرکز جرم پاندول ۱ و ۲ با استفاده از رابطه (۱) بدست می آید.

$$\mathbf{v}_{G1} = \begin{pmatrix} \dot{x} + \frac{L\dot{\theta}_1 \cos(\theta_1)}{2} \\ \frac{L\dot{\theta}_1 \sin(\theta_1)}{2} \\ 0 \end{pmatrix}, \mathbf{v}_{G2} = \begin{pmatrix} \dot{x} + L\dot{\theta}_1 \cos(\theta_1) + \frac{L\dot{\theta}_2 \cos(\theta_2)}{2} \\ L\dot{\theta}_1 \sin(\theta_1) + \frac{L\dot{\theta}_2 \sin(\theta_2)}{2} \\ 0 \end{pmatrix} \quad (1)$$

انرژی جنبشی سیستم

$$T = \frac{1}{2} m \mathbf{v}_{G1}^T \mathbf{v}_{G1} + \frac{1}{2} I_1 \dot{\theta}_1^2 + \frac{1}{2} m \mathbf{v}_{G2}^T \mathbf{v}_{G2} + \frac{1}{2} I_2 \dot{\theta}_2^2 + \frac{1}{2} m_0 \dot{x}^2 \quad (2)$$

انرژی پتانسیل سیستم

$$V = g m \left(L \cos(\theta_1) + \frac{L \cos(\theta_2)}{2} \right) + \frac{L g m \cos(\theta_1)}{2} \quad (3)$$

لاگرانژین

$$L = T - V \quad (4)$$

رابطه لاگرانژ

$$\frac{d}{dt} \left(\frac{\partial L}{\partial \dot{q}_i} \right) + \frac{\partial L}{\partial q} = Q_i^{nc} \quad (5)$$

فرآیند بالا با دستورات سمبولیک در متلب کدنویسی شده است (فایل symbolic_derivation.m)، در نهایت معادلات دینامیکی سیستم به فرم ماتریسی رابطه (۶) بدست می آیند.

$$\begin{pmatrix} 2m + m_0 & \frac{3Lm \cos(\theta_1)}{2} & \frac{Lm \cos(\theta_2)}{2} \\ \frac{3Lm \cos(\theta_1)}{2} & \frac{4L^2m}{3} & \frac{mL^2 \cos(\theta_1 - \theta_2)}{2} \\ \frac{Lm \cos(\theta_2)}{2} & \frac{mL^2 \cos(\theta_1 - \theta_2)}{2} & \frac{L^2m}{3} \end{pmatrix} \begin{pmatrix} \ddot{x} \\ \ddot{\theta}_1 \\ \ddot{\theta}_2 \end{pmatrix} + \begin{pmatrix} -\frac{Lm \left(3 \sin(\theta_1) \dot{\theta}_1^2 + \sin(\theta_2) \dot{\theta}_2^2 \right)}{2} \\ -\frac{Lm \left(3g \sin(\theta_1) - L \dot{\theta}_2^2 \sin(\theta_1 - \theta_2) \right)}{2} \\ -\frac{Lm \left(L \sin(\theta_1 - \theta_2) \dot{\theta}_1^2 + g \sin(\theta_2) \right)}{2} \end{pmatrix} = \begin{pmatrix} u \\ \tau \\ -\tau \end{pmatrix} \quad (6)$$

فرم فضای حالت غیرخطی معادله (۶) را می توان با بدست آورد $\begin{pmatrix} \ddot{x} \\ \ddot{\theta}_1 \\ \ddot{\theta}_2 \end{pmatrix}$ به صورت صریح از رابطه بالا بدست آورد،

یعنی:

$$\ddot{\mathbf{q}} = \begin{pmatrix} \ddot{x} \\ \ddot{\theta}_1 \\ \ddot{\theta}_2 \end{pmatrix} = \mathbf{M}^{-1}(\mathbf{Q} - \mathbf{Bias}) \quad (7)$$

متغیرهای حالت را به صورت زیر در نظر می گیریم:

$$\mathbf{x} = [x_1, x_2, x_3, x_4, x_5, x_6]^T = [x, \dot{x}, \theta_1, \dot{\theta}_1, \theta_2, \dot{\theta}_2]^T \quad (8)$$

برای بدست آوردن فرم فضای حالت غیرخطی به صورت زیر کدنویسی انجام شده است:

```
% -----State space Modeling-----
X = [x x_dot theta_1 theta_1_dot theta_2 theta_2_dot] % state variables
X_dot = [x_dot, ddq(1), theta_1_dot, ddq(2), theta_2_dot, ddq(3)].'; % derivative of state variables
u_vec = [u tau].'; % inputs vectors
B = simplify(jacobian(X_dot, u_vec))
A = simplify(jacobian(X_dot, X))
```

که در نهایت فرم غیرخطی ماتریس های A و B را به ما می دهد. از آنجایی که فرم غیرخطی این ماتریس های بسیار طولانی است از آوردن آن در متن گزارش خودداری می شود.

۲. خطی سازی معادلات حاکم

با داشتن فرم غیر خطی ماتریس A و B می توان به صورت زیر فرم خطی شده آن را بدست آورد:

```
A_lin = subs(A, [x x_dot theta_1 theta_1_dot theta_2 theta_2_dot], zeros(1, 6))
B_lin = subs(B, [x x_dot theta_1 theta_1_dot theta_2 theta_2_dot], zeros(1, 6))
```

به عبارتی در همان فرم غیر خطی که برای ماتریس ها بدست آمد، به جای متغیرهای حالت صفر قرار می دهیم، در نهایت این ماتریس ها برای سیستم خطی سازی شده به فرم زیر بدست می آیند.

$$A = \begin{pmatrix} 0 & 1 & 0 & 0 & 0 & 0 \\ 0 & 0 & -\frac{54 g m}{8 m + 28 m_0} & 0 & \frac{6 g m}{8 m + 28 m_0} & 0 \\ 0 & 0 & 0 & 1 & 0 & 0 \\ 0 & 0 & \frac{6 (15 L g m^2 + 12 L g m_0 m)}{m L^2 (8 m + 28 m_0)} & 0 & -\frac{6 (3 L g m^2 + 6 L g m_0 m)}{m L^2 (8 m + 28 m_0)} & 0 \\ 0 & 0 & 0 & 0 & 0 & 1 \\ 0 & 0 & -\frac{6 (9 L g m^2 + 18 L g m_0 m)}{m L^2 (8 m + 28 m_0)} & 0 & \frac{6 (5 L g m^2 + 16 L g m_0 m)}{m L^2 (8 m + 28 m_0)} & 0 \end{pmatrix} \quad (9)$$

$$B = \begin{pmatrix} \frac{0}{28} & \frac{0}{48} \\ \frac{0}{8 m + 28 m_0} & -\frac{0}{L (8 m + 28 m_0)} \\ \frac{0}{36} & \frac{0}{6 (16 m + 20 m_0)} \\ -\frac{0}{L (8 m + 28 m_0)} & \frac{0}{L^2 m (8 m + 28 m_0)} \\ \frac{0}{12} & \frac{0}{6 (16 m + 44 m_0)} \\ \frac{0}{L (8 m + 28 m_0)} & -\frac{0}{L^2 m (8 m + 28 m_0)} \end{pmatrix} \quad (10)$$

فضای حالت خطی را می توان به صورت زیر نوشت

$$\begin{aligned} \dot{x} &= Ax + Bu \\ y &= Cx \end{aligned} \quad (11)$$

با جایگذاری مقادیر عددی داده شده داریم:

A =	B =
0	0
1.0000	0.4667
0	-1.6000
-4.4145	0
0	1.0000
0	0.4905
61.8030	0
0	-26.4870
0	0
0	1.0000
-79.4610	0.4000
0	-76.8000
67.6890	0

۳. بررسی کنترل پذیری

برای بررسی کنترل پذیری به صورت زیر عمل می کنیم:

```
% n - m = 4
M_c = [B, A*B, A^2*B, A^3*B, A^4*B] % Controlability matrix
rank(M_c) % M_c is full rank → OK
```

که ماتریس کنترل پذیری به صورت زیر بدست می آید و رتبه کامل است.

```
M_c =
1.0e+05 *
    0         0    0.0000   -0.0000         0         0    0.0001   -0.0021         0         0
    0.0000   -0.0000         0         0    0.0001   -0.0021         0         0    0.0043   -0.2350
    0         0   -0.0000    0.0004         0         0   -0.0008    0.0441         0         0
   -0.0000    0.0004         0         0   -0.0008    0.0441         0         0   -0.0848    4.9091
    0         0    0.0000   -0.0008         0         0    0.0012   -0.0825         0         0
    0.0000   -0.0008         0         0    0.0012   -0.0825         0         0    0.1502   -9.0864
```

۴. مشاهده پذیری سیستم با فرض $y = [x, \theta_1]^T$

برای این قسمت به صورت زیر عمل می کنیم:

```
% ----- part 04 -----
% y = [x theta_1]
C_1 = [1 0 0 0 0 0; 0 0 1 0 0 0];
N_1 = [C_1; C_1*A; C_1*A^2; C_1*A^3; C_1*A^4]
rank(N_1) % full rank → Observable
C = C_1;
```

ماتریس مشاهده پذیری به صورت زیر و رتبه کامل است.

```
>> N_1
N_1 =
1.0e+03 *
    0.0010         0         0         0         0         0
         0         0    0.0010         0         0         0
         0    0.0010         0         0         0         0
         0         0         0    0.0010         0         0
         0         0   -0.0044         0    0.0005         0
         0         0    0.0618         0   -0.0265         0
         0         0         0   -0.0044         0    0.0005
         0         0         0    0.0618         0   -0.0265
         0         0   -0.3118         0    0.1501         0
         0         0    5.9243         0   -3.4299         0
```

۵. مشاهده پذیری سیستم با فرض $y = [\theta_1, \theta_2]^T$

برای این قسمت به صورت زیر عمل می شود:

```
% ----- part 05 -----
% y = [theta_1 theta_2]
C_2 = [0 0 1 0 0 0; 0 0 0 0 1 0];
N_2 = [C_2; C_2*A; C_2*A^2; C_2*A^3; C_2*A^4]
rank(N_2) %rank=4 -> Not Observable
% ----- part 06 -----
```

ماتریس مشاهده پذیری در این حالت رتبه کامل نیست و سیستم مشاهده پذیر نخواهد بود.

۶. طراحی رگولاتور

روش EESA به صورت زیر در متلب پیاده سازی شده است.

```
% ----- part 06 -----
% EESA
mu(1) = -2; mu(2) = -2; mu(3) = -2-j; mu(4) = -2+j; mu(5) = -3; mu(6) = -3;
S1 = null([A-mu(1)*eye(6) B])
S3 = null([A-mu(3)*eye(6) B])
S4 = null([A-mu(4)*eye(6) B])
S5 = null([A-mu(5)*eye(6) B])
v1 = S1(1:6, 1); q1 = S1(7:end, 1);
v2 = S1(1:6, 2); q2 = S1(7:end, 2);
v3 = S3(1:6, 1); q3 = S3(7:end, 1);
v4 = S4(1:6, 1); q4 = S4(7:end, 1);
v5 = S5(1:6, 1); q5 = S5(7:end, 1);
v6 = S5(1:6, 2); q6 = S5(7:end, 2);

K_EESA = -[q1 q2 q3 q4 q5 q6]*inv([v1 v2 v3 v4 v5 v6])
K_EESA=real(K_EESA);
eig(A-B*K_EESA)
```

بهره کنترلی بدست آمده در این حالت به صورت زیر است:

```
>> K_EESA
```

```
K_EESA =
```

```
-4.5199    -7.3714   -57.7888   -12.7990   -20.5140   -5.5092
-0.0581    -0.0940    0.5112   -0.1250   -1.1424   -0.1163
```

۷. طراحی مشاهده گر

الگوریتم GCCF به صورت زیر پیاده سازی شده است.

```
% ----- part 07 -----
% Observer Design using GCCF algorithm
A = A.'; B=C_1.';
mu = -10*ones(1, 6);
M_h = [B(:, 1) A*B(:, 1) A^2*B(:, 1) A^3*B(:, 1), B(:, 2) A*B(:, 2)] % gamma1 = 4, gamma2 = 2
M_hi = inv(M_h);
e14T=M_hi(4, :);
e22T=M_hi(4+2, :);
Ti = [e14T; e14T*A; e14T*A^2; e14T*A^3; e22T; e22T*A];
T=inv(Ti)
% dX = AX + Bu -> dZ = A_G Z + B_G v; X=TZ u=fw w = H - vZ
Ag1 = [zeros(3, 1), eye(3);zeros(1, 4)];
Ag2 = [0 1;0 0];
A_G = [Ag1, zeros(4, 2);zeros(2, 4) Ag2];
Bg1 = [0 0 0 1].';
Bg2 = [0 1].';
B_G = [Bg1 zeros(4,1);zeros(2,1) Bg2];
% Ti*B*F = B_G -> B*F = T*B_G->(B.*B)*F=B.*T*B_G->F = inv(B.*B)*B.*T*B_G
F = inv(B.*B)*B.*T*B_G;
H = B_G.*(A_G-Ti*A*T);

%desired polynomials
syms s
P1 = flip(coeffs(expand((s-mu(1))^4)));% gamma1 = 4
P2 = flip(coeffs(expand((s-mu(1))^2)));% gamma2 = 2
Ad1 = [zeros(3,1), eye(3);-flip(P1(2:end))]
Ad2 = [0 1;-flip(P2(2:end))]
A_d = [Ad1, zeros(4,2);zeros(2, 4), Ad2]

Gamma = B_G.*(A_G-A_d)
K_o = double(F*(Gamma-H)*Ti).'
```

بهره کنترلی بدست آمده در این حالت به صورت زیر است:

```
>> K_o

K_o =

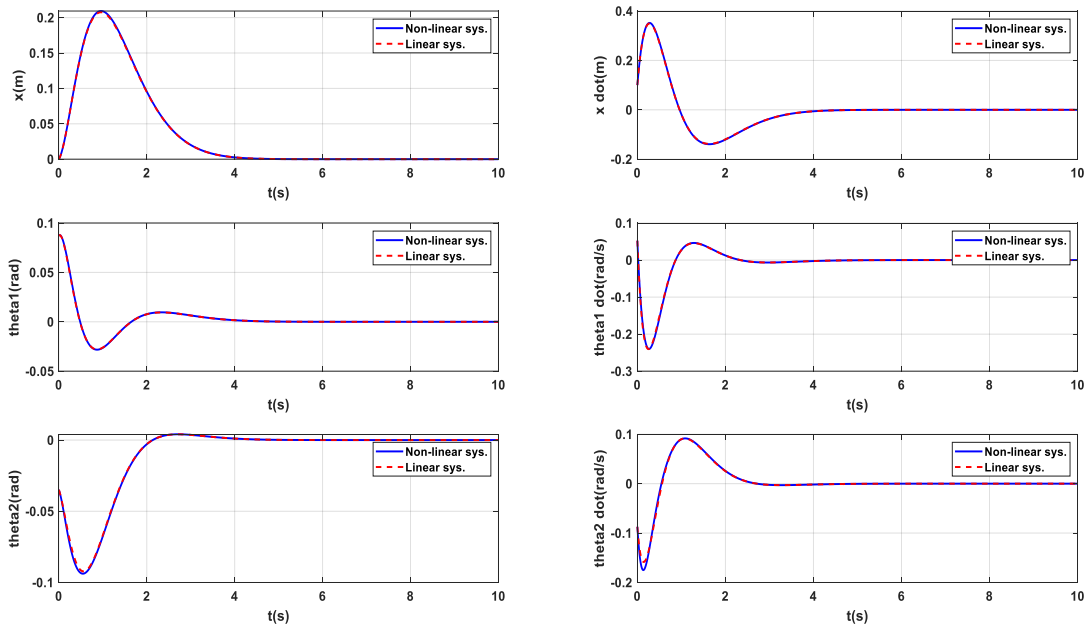
    1.0e+05 *

    0.0004    0
    0.0091    0
   -0.0108    0.0002
   -0.4353   -0.0008
    0.2339    0.0018
    1.9403    0.0143
```

۸. پاسخ سیستم خطی و غیر خطی همراه با رگولاتور به شرایط اولیه در این حالت فرمان کنترلی به صورت رابطه (۱۹) خواهد بود

$$u = -Kx \quad (۱۲)$$

با اعمال گین کنترلی بدست آمده به پاسخ های زیر برای سیستم های خطی و غیر خطی می رسیم.



شکل ۱ پاسخ سیستم های خطی و غیر خطی به شرایط اولیه در حضور رگولاتور طراحی شده

۹. استفاده از مشاهده گر برای اعمال کنترلر به سیستم
در این حالت فرمان کنترلی به صورت رابطه (۲۰) خواهد بود

$$u = -K\hat{x} \quad (۱۳)$$

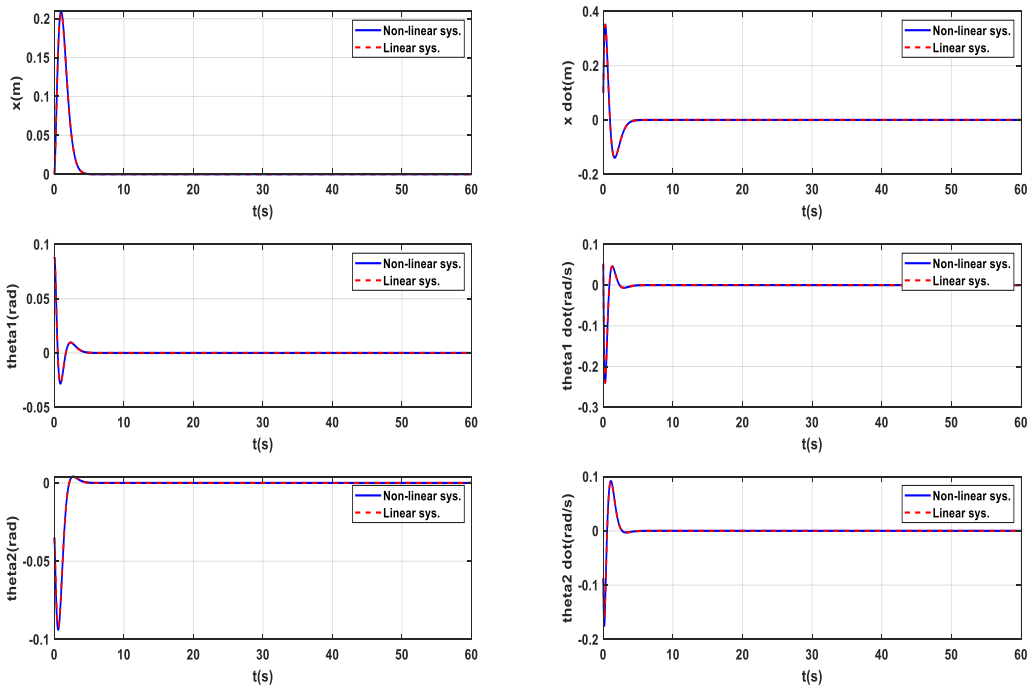
در این رابطه \hat{x} تخمین متغیرهای حالت است. با استفاده از مشاهده گر مرتبه کامل لومبرگر برای سیستم خطی می توان نوشت:

$$\dot{\hat{x}} = Ax + B(-K\hat{x}) + K_o C(x - \hat{x}) \quad (۱۴)$$

و برای سیستم غیرخطی:

$$\dot{\hat{x}} = f(\hat{x}) + B(\hat{x}) \times (-K\hat{x}) + K_o C(x - \hat{x}) \quad (۱۵)$$

با حل دستگاه معادلات (۲۱) و (۱۳) برای سیستم خطی به نتایج نشان داده شده در شکل زیر می رسیم. توجه شود که برای پایدار شدن سیستم غیرخطی شرایط اولیه مشاهده گر و سیستم یکی در نظر گرفته شده است.



شکل ۲ پاسخ سیستم خطی و غیر خطی به شرایط اولیه در حضور رگولاتور همراه با مشاهده گر

۱۰. طراحی سروو کنترل نوع ۱ با استفاده از پیشخوراند همراه با مشاهده گر
طراحی کنترلر با استفاده از روش GCCF به صورت زیر انجام شده است:

```
% ----- part 10 -----
% Regulator Design using GCCF algorithm
mu(1) = -2; mu(2) = -2; mu(3) = -2-j; mu(4) = -2+j; mu(5) = -3; mu(6) = -3;
M_h = [B(:, 1) A*B(:, 1) A^2*B(:, 1) A^3*B(:, 1), B(:, 2) A*B(:, 2)] % gamma1 = 4, gamma2 = 2
M_hi = inv(M_h);
e14T=M_hi(4, :);
e22T=M_hi(4+2, :);
Ti = [e14T; e14T*A; e14T*A^2; e14T*A^3; e22T; e22T*A];
T=inv(Ti)
% dX = AX + Bu -> dZ = A_G Z + B_G v; X=TZ u=fw w = H - vZ
Ag1 = [zeros(3, 1), eye(3);zeros(1, 4)];
Ag2 = [0 1;0 0];
A_G = [Ag1, zeros(4, 2);zeros(2, 4) Ag2];
Bg1 = [0 0 0 1].';
Bg2 = [0 1].';
B_G = [Bg1 zeros(4,1);zeros(2,1) Bg2];
% Ti*B_F = B_G -> B_F = T*B_G -> (B.'*B)*F=B.'*T*B_G -> F = inv(B.'*B)*B.'*T*B_G
F = inv(B.'*B)*B.'*T*B_G;
H = B_G.'*(A_G-Ti*A_T);

%desired polynomials
syms s
P1 = flip(coeffs(expand((s-mu(1))*(s-mu(2))*(s-mu(3))*(s-mu(4)))));% gamma1 = 4
P2 = flip(coeffs(expand((s-mu(5))*(s-mu(6)))));% gamma2 = 2
Ad1 = [zeros(3,1), eye(3);-flip(P1(2:end))]
Ad2 = [0 1;-flip(P2(2:end))]
A_d =[Ad1, zeros(4,2);zeros(2, 4), Ad2]

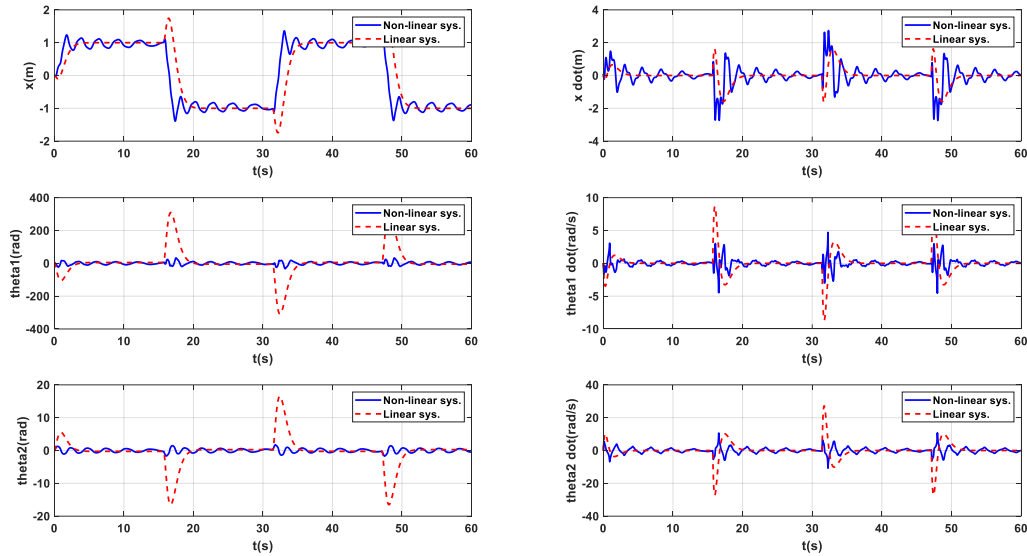
Gamma = B_G.'*(A_G-A_d)
K_GCCF = double(F*(Gamma-H)*Ti)
```

$$u = -K\hat{x} + u_{ff} \quad (16)$$

که در آن

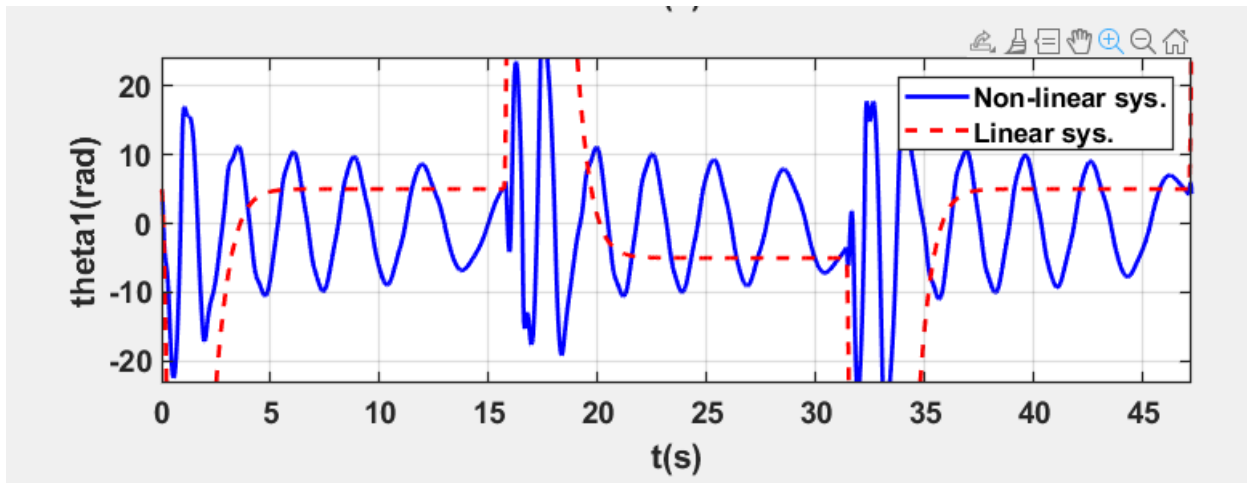
$$u_{ff} = -C(A - BK)^{-1}Br \quad (17)$$

پاسخ سیستم‌های خطی و غیرخطی در شکل زیر نشان داده شده است. مشخص است که سیگنال رفرنس برای متغیر حالت x برای هر دو سیستم خطی و غیرخطی به خوبی دنبال می‌شود. تنها مسأله فراجش‌های زیاد سیستم خطی سازی شده است که غیرواقعی به نظر می‌رسد.



شکل ۳ عملکرد سروو کنترلر نوع ۱ با پیشخوراند برای سیستم های خنثی و غیرخطی

دقت شود که متغیر θ_1 هم برای سیستم خطی مقدار خواسته شده را تعقیب می کند اما به علت فراجاهش زیاد در شکل مشخص نشده است، برای نمایش بهتر به شکل زیر توجه کنید. در اینجا سیستم غیرخطی حول مقادیر خواسته شده نوسان می کند. همچنین برای پایدار شدن سیستم غیرخطی شرایط اولیه مشاهده گر و سیستم اصلی مشابه هم در نظر گرفته شده است.



شکل ۴ تغییرات متغیر θ_1

۱۱. طراحی سروو کنترل نوع ۱ با استفاده از انتگرال گیر همراه با مشاهده گر

معادلات حالت سیستم خطی همراه با انتگرال گیر را می توان به صورت رابطه (۲۷) نوشت:

$$\begin{aligned}\dot{\mathbf{x}} &= \mathbf{Ax} + \mathbf{Bu} \\ \boldsymbol{\xi} &= \mathbf{r} - \mathbf{Cx} \\ \dot{\hat{\mathbf{x}}} &= \mathbf{A}\hat{\mathbf{x}} + \mathbf{Bu} + \mathbf{K}_o\mathbf{C}(\mathbf{x} - \hat{\mathbf{x}}) \\ u &= -\mathbf{K} \begin{bmatrix} \hat{\mathbf{x}} \\ \boldsymbol{\xi} \end{bmatrix}\end{aligned}\quad (18)$$

به صورت مشابه برای سیستم غیر خطی خواهیم داشت:

$$\begin{aligned}\dot{\mathbf{x}} &= \mathbf{f}(\mathbf{x}) + \mathbf{B}(\hat{\mathbf{x}})u \\ \boldsymbol{\xi} &= \mathbf{r} - \mathbf{Cx} \\ \dot{\hat{\mathbf{x}}} &= \mathbf{f}(\hat{\mathbf{x}}) + \mathbf{B}(\hat{\mathbf{x}})u + \mathbf{K}_o\mathbf{C}(\mathbf{x} - \hat{\mathbf{x}}) \\ u &= -\mathbf{K} \begin{bmatrix} \hat{\mathbf{x}} \\ \boldsymbol{\xi} \end{bmatrix}\end{aligned}\quad (19)$$

در این روابط بهره کنترلی \mathbf{K} با استفاده از الگوریتم EESA برای زوج ماتریس رابطه ریز محاسبه می شود.

$$\tilde{\mathbf{A}} = \begin{bmatrix} \mathbf{A} & \mathbf{0} \\ -\mathbf{C} & \mathbf{0} \end{bmatrix}, \tilde{\mathbf{B}} = \begin{bmatrix} \mathbf{B} \\ \mathbf{0} \end{bmatrix}\quad (20)$$

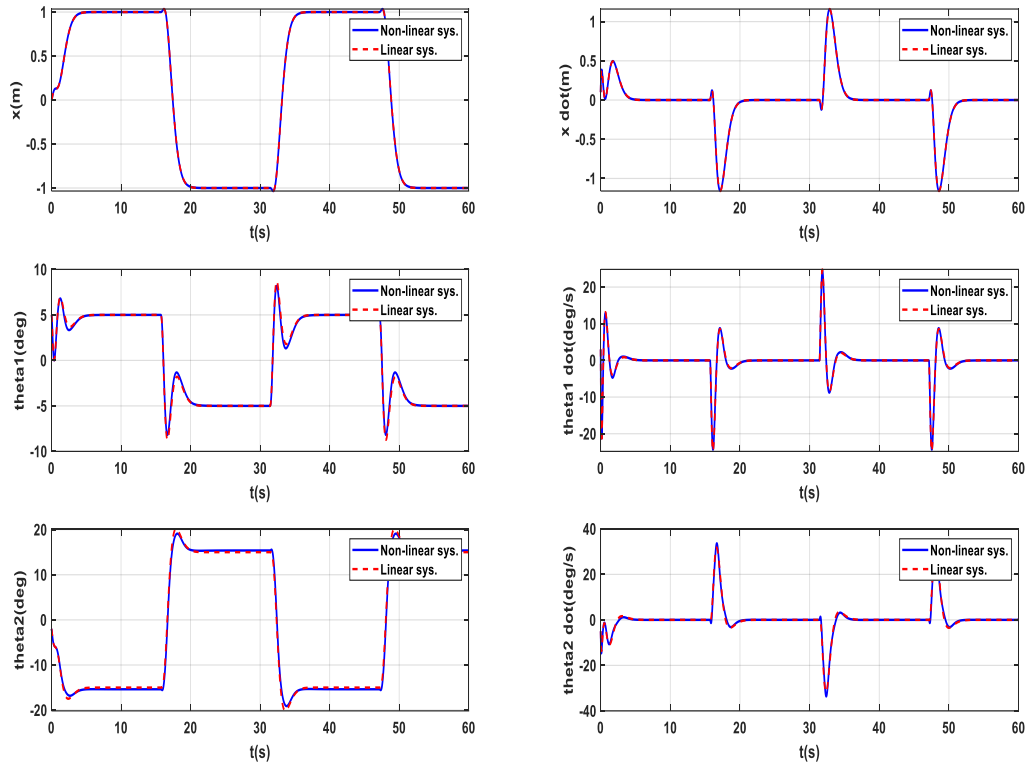
الگوریتم EESA به صورت زیر در متلب پیاده سازی شده است:

```
% ----- part 11 -----
% Adding Integrator to the system, using EESA algorithm for pole placement
A_new = [A_lin(L,g,m,m_0), zeros(6, 2); -C, zeros(2,2)];
B_new = [B_lin(L,m,m_0);zeros(2, 2)];
C = [1 0 0 0 0 0;0 0 1 0 0 0];

mu(1) = -2; mu(2) = -2; mu(3) = -2-j; mu(4) = -2+j; mu(5) = -3; mu(6) = -3; mu(7)=-4; mu(8)=-4;
S1 = null([A_new-mu(1)*eye(8) B_new])
S3 = null([A_new-mu(3)*eye(8) B_new])
S4 = null([A_new-mu(4)*eye(8) B_new])
S5 = null([A_new-mu(5)*eye(8) B_new])
S7 = null([A_new-mu(7)*eye(8) B_new])
v1 = S1(1:8, 1); q1 = S1(9:end, 1);
v2 = S1(1:8, 2); q2 = S1(9:end, 2);
v3 = S3(1:8, 1); q3 = S3(9:end, 1);
v4 = S4(1:8, 1); q4 = S4(9:end, 1);
v5 = S5(1:8, 1); q5 = S5(9:end, 1);
v6 = S5(1:8, 2); q6 = S5(9:end, 2);
v7 = S7(1:8, 1); q7 = S7(9:end, 1);
v8 = S7(1:8, 2); q8 = S7(9:end, 2);
%VV = [v1 v2 v3 v4 v5 v6 v7 v8]
%rank(VV)

K_EESA = -[q1 q2 q3 q4 q5 q6 q7 q8]*inv([v1 v2 v3 v4 v5 v6 v7 v8]);
K_EESA=real(K_EESA);
eig(A_new-B_new*K_EESA); % OK
```

با حل معادلات دیفراسیل برای سیستم‌های خطی و غیرخطی پاسخ به صورت نشان داده شده در شکل زیر خواهد بود. توجه شود که در این قسمت هم برای پایدار شدن سیستم غیرخطی شرایط اولیه مشاهده گر و سیستم اصلی مشابه هم در نظر گرفته شده است. دقت شود که در این قسمت متغیر θ_2 علی‌رغم خواست ما به صفر نمی‌رود بلکه به نوعی دارد یک ورودی ناخواسته را تعقیب می‌کند.



شکل ۵ طراحی کنترلر سروو انتگرال گیر همراه با مشاهده گر